



مجله علوم و صنایع غذایی ایران

سایت مجله: www.fsct.modares.ac.ir

مقاله علمی-پژوهشی

اثر ریزپوشانی بر زنده مانی پروبیوتیک ها طی فرآیندهای چاپ سه بعدی و پخت خمیر کوکی بر پایه ضایعات قنادی

مهسا صیادی^۱، زینب السادات ابراهیم زاده موسوی^۲، سید هادی رضوی^۳

۱- کارشناسی ارشد صنایع غذایی، دانشکده منابع طبیعی و کشاورزی دانشگاه تهران

۲- استادیار گروه صنایع غذایی، دانشکده منابع طبیعی و کشاورزی دانشگاه تهران. پست الکترونی

۳- استاد گروه صنایع غذایی، دانشکده کشاورزی و منابع طبیعی و کشاورزی دانشگاه تهران

چکیده

اطلاعات مقاله

تاریخ های مقاله :

تاریخ دریافت: ۱۴۰۱/۲/۲۶

تاریخ پذیرش: ۱۴۰۲/۳/۹

زنده مانی پروبیوتیکها طی فرایند تولید محصولات غذایی با چالش‌های مختلفی رو به رو می‌یاشد. یکی از فرایندهای نوظهور تولید محصولات غذایی استفاده از چاپ سه بعدی بوده کهتا کنون اثراين فرایند بر زنده مانی پروبیوتیک ها چندان مورد مطالعه قرار نگرفته است. در این پژوهش اثر ریزپوشانی بر زنده مانی سلول ها طی فرایند چاپ سه بعدی و پخت کوکی (بر پایه ضایعات حاصل از فراورده های قنادی) بر زنده مانی سلول ها مورد بررسی قرار گرفت. ابتدا شرایط تولید دانک نیز با تغییر درصد محلول های آژینات سدیم و کلسیم کلرید بهینه سازی گردید. سپس، اثر ریزپوشانیبا درصد های مختلف دانک (۱۰٪، ۵٪، ۰٪) بر سفتی بافت خمیر به عنوان فاکتور مهم در چاپ پذیری خمیر نیز بررسی شد. در نهایت میزان زنده مانی سلول ها طی فرایند چاپ و پخت (دماهی 150°C و 180°C به مدت ۱۰ دقیقه) مورد ارزیابی قرار گرفت. نتایج تصاویر تهیه شده نشان دادکه با افزایش غلظت محلول سدیم آژینات و کلسیم کلرید یکنواختی و کرویت دانک ها افزایش می یابد. کارایی درونپوشانی دانک بر پایه آژینات در این روش بکار ۸۹٪ / ۴۱٪ بود. بهینه درصد دانک جهت برخورداری از ویژگی مطلوب چاپ پذیری خمیر و کوکی پخته شده ۵٪ (وزنی- وزنی) گزارش شد. ریزپوشانی باعث افزایش درصد زنده مانی پروبیوتیک ها طی چاپ سه بعدی و پختگردید. بدین صورت که درصد زنده مانی پروبیوتیک های ریزپوشانی شده (T2) بعد از چاپ سه بعدی و پخت (دماهی 150°C) به ترتیب ۸۶٪ / ۹۶٪ و ۵۸٪ / ۶۲٪ بود. این در حالیست که درصد زنده مانی برای نمونه حاوی سلول های آزاد (T1) به ترتیب برابر با ۷۸٪ / ۰۵٪ و ۷۳٪ / ۰۳٪ بود. این وجود هیچ سلول زنده پروبیوتیک در هر دوی شرایط آزاد و درون پوشانی در دماهی 180°C مشاهده نشد.

کلمات کلیدی:

پروبیوتیک،

کوکی،

ریزپوشانی ،

زنده مانی،

چاپ سه بعدی

DOI: 10.22034/FSCT.20.136.186

DOR: 20.1001.1.20088787.1402.20.136.14.2

* مسئول مکاتبات:

zeinab.mosavi@ut.ac.ir

۱- مقدمه

ریخته می شود که مشکلات اقتصادی و زیست محیطی را به همراه خواهد داشت [۴].

چاپ سه بعدی مواد غذایی ترکیبی از فناوری چاپ سه بعدی و فرآوری مواد غذایی است و از مواد قابل خوارکی مثل پودری آبمیوه جات و سبزیجات، نشاسته، گوشت، شکلات، جلبک و غیره به عنوان مواد اولیه جهت فرآیند چاپ کردن استفاده می‌کند [۵]. مهمترین ویژگی‌ها درواقع مزیت چاپ سه بعدی، ایجاد ساختارهای پیچیده سه بعدی هست، اما در حوزه صنایع غذایی، پتانسیل ارائه تغذیه شخصی و انتخاب غذای شخصی می‌تواند اصلی‌ترین دلیلی باشد که فناوری چاپ سه بعدی به سرعت در حال پیشرفت هست [۵]. فناوری چاپ سه بعدی مواد غذایی می‌تواند فرمولاسیون غذا را برای پاسخ‌گویی به نیاز افرادی با ترجیحات چشایی، نیازهای غذایی و شرایط جسمی مختلف برآورده سازد. همچون کسانی که بیماری‌هایی چون دی‌سفرازی دارند [۶]. فناوری چاپ سه بعدی همچنین نیازی تولید غذاهای سفارشی برای ورزشکاران، زنان باردار و ... مناسب باشد. این امر توسط حذف، کاهشی ای تغییر در محتوای پروتئین، چربی، فیبر، سلولز، ویتامین و ... و با افزودنی ای معرفی ترکیبیات عملکردی چون آنتوسیانین‌ها، کاروتینوئیدها و پروبیوتیک‌ها برای ایجاد عملکردی‌های مطلوب، حاصل می‌شود [۷]. علیرغم مزیت بالقوه چاپ سه بعدی مواد غذایی در تأثیرات سلامتی و محیطی، تحقیقات کمی در مورد استفاده از

ضایعات مواد غذایی، ضایعات تجزیه‌پذیری‌اند که می‌توانند بر محیط، سلامتی جمعیت و توسعه پایدار تأثیر بگذارند [۱] بر اساس گزارش بر اساس گزارش سازمان جهانی خواربار و کشاورزی (FAO)، نزدیک به ۱,۶ میلیارد تن مواد غذایی شامل سبزیجات تازه، میوه‌ها، گوشت، فرآورده‌های نانوایی ۲ و محصولات لبنی، بهزادگی در زنجیره‌های غذایی ۳ خارج شده و از دست می‌روند. بر اساس گزارش‌ها فائق از این ۱,۳ میلیارد تن ضایعات در دنیا سهم ایران ۲,۷ درصد از آن یعنی ۳۵ میلیون تن در سال هست که بیشترین میزان ضایعات مربوط به نان، میوه و سبزیجات و برنج است [۲]. در حال حاضر در کشور ما برخلاف کشورهای پیشرفته، ضایعات نان یکی از مهمترین فراورده‌های غذایی دور ریز است که از مرحله برداشت غلات تا تولید و مصرف نان حدود ۳۰ درصد تخمین زده شده به طوری که سالانه معادل ۳۰۰ میلیون دلار ضایعات نان هدر می‌رود. در اصطلاح به کلیه ضایعات نان‌های تولیدی، بیسکوئیت‌ها، کیک‌ها و کلوچه، شیرینی‌ها و ماکارونی و ... ضایعات نان گفته می‌شود. ضایعات نانوایی ترکیبی از ترکیبات مختلفی سرشار از مواد مغذی است که می‌توان آنها را در صنایع دیگری مورد استفاده قرارداد، اما درنهایت این ضایعات بالارزش در محل‌ها دفن زباله قرار می‌گیرند [۳]. صنعت قنادی ۴ در دنیا سالیانه چندین تن ضایعات تولید می‌کند. ضایعات حاصل از قنادی‌ها منابع غنی از مواد مغذی بوده که می‌توان از آن در صنایع مختلف استفاده نمود و تولید و توسعه پایدار محصولات با ارزش افزوده بالا را سبب می‌شود. این درحالی است که ضایعات قنادی به راحتی دور

1-Sustainable development

2-Bakery

3-Food supply chain

4-Confectionary industry

[۱۳]. چندین استراتژی در طول سالهای اخیر برای غلبه بر این موانع برای ایجاد حداقل قابلیت زنده ماندن پروبیوتیک‌هادرنگامفرآی‌ندهایانبارداری محصول، توزیع در بازار و همچنین پساز مصر فدر دستگاه‌گوارشی عنی‌شیری ره معده و شرایط نمک‌های صفرایی روده، مورد بررسی قرار گرفته است. تولید میکروکپسول‌های حاوی پروبیوتیک به سه دسته اصلی اکستروژن، امولسیون و خشک‌کن پاششی تقسیم می‌شود که اکثر تحقیقات با استفاده از فناوری‌های اکستروژن یا امولسیون انجام می‌شود[۱۷]. روش اکستروژن معمولاً برای ریز پوشانی سلول‌های میکروبی به کار می‌رود اکستروژن یک روش فیزیکی است که در آن سلول‌های پروبیوتیک زنده در مواد هیدروکلوفیدی مانند آژینات و کاراگینان قرار می‌گیرند این یک فرایند بسیار متداول است که بر اساس عبور اجباری محلول حاوی سلول‌های میکروبی از طریق نازل یا دهانه‌های کوچک با استفاده از دستگاه‌های تولید کننده قطرات مناسب انجام می‌شود.[۱۶، ۲۱-۱۸].

هدف از این تحقیق تولید کوکی فراسودمند حاوی پروبیوتیک با استفاده از ضایعات حاصل از صنعت قنادی به شکل خمیر به عنوان حامل سلول‌های پروبیوتیک توسط چاپگر می‌باشد. افرون بر این زنده مانی سلول‌ها به صورت آزاد و ریزپوشانی شده حین فرایند چاپ و پخت نیز مورد ارزیابی قرار می‌گیرد.

۲. مواد و روش‌ها

۲.۱. لیست مواد و تجهیزات و دستگاه‌های مورد استفاده

ضایعات مواد غذایی به عنوان مواد تشکیل دهنده برای چاپ سه بعدی مواد غذایی وجود دارد[۸].

در طی دهه گذشته گرایش به تولید محصولات غذایی عملگرای حاوی سلول‌های پروبیوتیک به دلیل اثرات مثبت فی‌زی‌ولوژیکی و سلامتی بخش آنها شد چشمگیری داشته است[۹]. پروبیوتیک‌ها می‌کروارگانی زمهمای زنده‌ای هستند که آنها گردد مقدار مناسب (۱۰۶-۱۰۷CFU/g) مورد استفاده قرار بگیرند می‌توانند اثرات سلامتی بخش‌باز جمله بهبود عملکرد دستگاه گوارش، سیستم‌های اکسیداسیون-احیا و متابولیسم درشت مغذی‌هادرمی‌زبانای جادکنند[۱۰، ۱۱]. در طی سالهای اخیر تحقیقاتی در خصوص استفاده از فناوری چاپ سه بعدی در تولید محصولات غذایی حاوی پروبیوتیک صورت گرفته است. نمونه‌ای از این محصولات شامل اسنک‌ها بر پایه غلات، سیب زمینی، شکلات، میوه و سبزی[۱۵-۱۲] می‌باشد. زنده مانی پروبیوتیک‌ها طی فرایند تولید محصولات غذایی با چالش‌های مختلفی رو به رو می‌یابند. شرایط حاکم بر فرایند تولید مواد غذایی می‌تواند منجر به از دست رفت نزدیمانی مقادیر قابل توجهی از پروبیوتیک‌ها بهدلیل خدمات سلولی ناشی از گرمای استرس مکانیکی ایامی و بسیاری از شرایط دیگر شود[۱۶].

به عنوان مثال، در صور تاستفاده‌های چاپ سه‌بعدی در تولید محصولات غذایی حاوی پروبیوتیک فاکتورهای متعددی برزند دهمانی سلول‌های انقدشارند. فاکتورهای چاپ مانند قطره نازل، دمای فرایند چاپ، مدت زمان نگه داری، سرعت اکستروژن، فشار اکستروژن و شرایط انبارداری بر زنده مانی سلول‌های پروبیوتیک اثر زیادی دارند.

قرار داده و پس از ۲۴ ساعت مجدداً یک میلی لیتر از محیط کشت را به محیط کشت مایع MRS تلقیح شد. در نهایت جداسازی باکتری ها پس از گذشت مدت زمان ۱۸ ساعت از تلقیح و هنگامی که در ابتدای مرحله سکون (انتهای مرحله لگاریتمی) قرار گرفتند، صورت گرفت [۲۲]. جهت جداسازی سوسپانسیون باکتری از محیط کشت، ابتدا محیط کشت حاوی میکرووارگانیسم به مدت ۵ دقیقه در دمای ۴ درجه سانتی گراد در سانتریفیوژ با دور ۶۰۰۰ rpm سانتریفیوژ شد. در ادامه محیط کشت را خارج کرده و توده باکتری دو بار توسط سرم فیزیولوژی شستشو داده شده و مجدداً سانتریفیوژ شد. در نهایت سوسپانسیون جداسده توسط سرم فیزیولوژی رقت سازی شده و شمارش میکرووارگانیسم انجام شد [۲۳].

۲.۳. ریزپوشانی میکروب با روش اکستروژن

فرآیند ریزپوشانی با استفاده از روش اکستروژن مطابق روش سنت و همکاران [۲۴] صورت گرفت. به این منظور ابتدا ۰/۴ گرم پودر آژینات سدیم را به ۱۰ میلی لیتر آب مقطور افزوده و به مدت یک شبانه روز در دمای محیط تحت همزنی قرار گرفت. سپس محلول حاصل استریل شد و در یخچال با دمای ۴ °C نگهداری شد. در ادامه یک میلی لیتر سوسپانسیون باکتریایی تهیه شده به محلول آژینات سدیم اضافه شده و به طور کاملاً یکنواخت پراکنده شد. در ادامه محلول تهیه شده را توسط سرنگ استریل به صورت قطره قطره به محلول ۳٪ کلسیم کلرید به عنوان محلول سخت کننده در حال همزنی ملایم اضافه شد. در نهایت یزپوش تهیه شده با هدف استفاده های بعدی، در ۴ °C نگهداری شدند.

Table 1. Materials used in study

Country	Manufacturer	Materials
USA	Sigma-Aldrich	Sodium Alginate
Germany	Merck	Calcium Chloride
Germany	Merck	Sodium Citrate
Iran	University of Tehran	Lactobacillus plantarum
Canada	Qlab	MRS Broth
Iran	-	Yazdi Cake

Table 2: Equipments used in study	Country	The manufacturer and model of the device	Devices
Iran	Pars Khazar	Microwave	
Germany	Heidolf MR3001 K	Magnetic Stirrer	
Germany	Hettich Universal 320	Centrifuge	
Germany	IKA genius	Vortex	
Japan	AND	Accurate scale	
USA	Brookfield	Texture Analyzer	
Germany	Zeiss	SEM	
Iran	---	Sieve (mesh 20)	

۲.۴. تهیه و آماده سازی سلول های باکتریایی

لاکتوباسیلوس پلانتاروم DSMZ 20174، از آزمایشگاه گروه علوم و مهندسی صنایع غذایی دانشگاه تهران تهیه شد. فعال سازی باکتری لاکتوباسیلوس پلانتاروم در محیط کشت ^{MRS} آگار در دمای ۳۷ °C به مدت ۴۸ ساعت انجام شد. سپس یک کلونی از محیط جامد ^{MRS} آگار به محیط مایع ^{MRS} اضافه شد و محیط کشت مورد نظر را در انکوباتور با دمای ۳۷ درجه سانتی گراد به مدت ۲۴ ساعت

۲ میلی متر، حجم سرنگ برابر با ۲۰ میلیلیتر، ارتفاع نازل ۱/۵ میلی متر، و ارتفاع لایه‌هاینیز برابر با ۱/۵ میلی متر بود. تمامیطراحی‌ها، از جمله طراحیدستگاه، نازل و شرایطکلیدستگاه در اینتحقیق توسط تیمپژوهنده انجام شد.سپس خمیر حاوی سلول‌های پروبیوتیک توسط چاپ سه بعدی، چاپ شد. و در نهایت خمیر چاپ شده در دو دمای 150°C و 180°C به مدت ۱۰ دقیقه در آون خانگی پخته شد.

۲.۷ ارزیابیزنده مانی سلول های

پروبیوتیکمخصوصالپاژفرا آیند چاپ سه بعدی و پخت

[۲۷] ابتدا نمونه خمیر یا کوکی تهیه شده در شرایط استریل همگن شده و سپس یک گرم از نمونه‌توزین شده و در محلول سیترات سدیم ۱٪ پراکنده شد. سپس نمونه تا تخریب کامل ریزپوشش‌ها و آزاد شدنسلول‌های ریزپوشانی شده، تحت همزنی قرار گرفت. سپس نمونه مورد نظر را تا رقت مناسب رقیق کرده و در محیط MRS آگار به صورت اختلاطی کشت داده و شمارش صورت گرفت و نتایج بر حسب CFU/ml گزارش شد.

۲.۸ بررسی بافت محصول نهایی

به منظور ارزیابی خصوصیات بافتینمونه‌ها،

آزمون TPA با استفاده از دستگاه Brookfield انجام شد. ابتدانمونه‌هابا قطر ۳ سانتی‌متر چاپ شده و سپس بر رویسکویدستگاه قرار گرفته و پروسیلندریبا قطر ۵۰ میلی‌متر به آرامی تا عمق ۵۰٪ نمونه در نمونه‌ها نفوذ کرد و مجدداً به سطح نمونه برگشت. اینسیکلحرکتی در مجموع برای هر نمونه دوبار تکرار شد.

۲.۹ بررسی کارایی ریزپوشانی

جهت ارزیابی میزان کارایی ریزپوشانی [۲۵] ابتدا ۱ گرم از ریزپوشش‌های تولید شده را به ۹ میلی‌لیتر محلول استریل سیترات سدیم 1% مولارافروده و به مدت ۴۵ دقیقه در دما یتحتمزمنی قرار داده تا دانک‌ها به صورت کامل حل شده و باکتری‌ها از ریزپوشش ها آزاد شوند. سپس رقت مناسبی از محلول حاصل تهیه شده و در محیط کشت MRS آگار کشت داده شد. درنهایت با هدف رشد میکرووارگانیسم مورد نظر محیط کشت‌ها را در دمای 37°C به مدت ۴۸ ساعت انکوبه گذاری شدند. میزان کارایی ریزپوشانی توسط معادله ۱ محاسبه شد:

$$\text{معادله ۱: } \text{ریزپوشانیکارایی} = \frac{N_1}{N_0} \times 100$$

که در آن N_0 =تعداد باکتری اولیه و N_1 =تعداد باکتری پس از ریزپوشانیاست.

۲.۵ بررسی اندازه ریزپوشش تولید شده

به منظور اندازه‌گیری اندازه ریزپوشش، ابتدا با استفاده از میکروسکوپ نوری از ریزپوشش تصویر برداری صورت گرفت. سپس اندازه دانک‌ها با استفاده از نرم افزار ImageJ نسخه ۱.52a ارزیابی شد [۲۶].

۲.۶ بارگزاری سلول‌ها و چاپ سه بعدی خمیر کوکی

۱ گرم از ریزپوشینه‌های تولید شده در ۹ گرم آب و ۱۰/۵ گرم پودر شیرینی (تهیه شده از ضایعات قنادی) مخلوط شده است و پس از بهینه‌سازی فرمولا سیون‌خمیر کوکی، شرایط چاپ سه بعدی خمیر مورد بهینه‌سازی قرار گرفت. شرایط بهینه‌پارامترهای مؤثر بر چاپ‌خمیر به صورت: سرعت پرینت برابر با ۲۰ میلیلیتر بر ثانیه، قطر خروجی نازل برابر با

۲.۹ آنالیز آماری

و فشاری مقاوم‌تر هستند و ممکن است باعث بروز پاسخ اینمی کمتری توسط بدن شوند [۲۸].

۳.۱ اثر غلظت محلول آژینات سدیم بر خصوصیات ریزپوشش

به منظور بررسی اثر غلظت محلول آژینات سدیم بر خصوصیات ریزپوششها، محلول‌هایی با غلظت‌های ۲ تا ۴٪ (وزنی/حجمی) تهیه شد و سپس به درون سرنگ انتقال یافت و با فشار دست و قطره قطره از سرنگ خارج و به درون ظرف حاوی محلول کلسیم کلرید ۲٪ (وزنی/حجمی) ریخته شد. انتخاب غلظت‌های ۲ تا ۴٪ (وزنی/حجمی) در این تحقیق به دلیل این امر بود که به منظور تشکیل ریزپوشش، ویسکوزیتهٔ محلول سدیم آژینات می‌بایست از ۶۰ میلی‌پاسکال بیشتر باشد [۲۹]. میانگین اندازه ریزپوشش تشکیل شده در اثر تغییر غلظت محلول آژینات در جدول (۱) آورده شده است. همانطور که در جدول مشاهده می‌شود، با افزایش غلظت محلول آژینات، اندازهٔ ریزپوشش‌ها به طور معنی‌داری ($p < 0.05$) افزایش پیدا کرد. عوامل متعددی از جمله فاصلهٔ نازل تا سطح محلول ژل‌کننده، خصوصیات آژینات استفاده شده، غلظت محلول کلسیم کلرید و غلظت محلول آژینات سدیم می‌توانند بر اندازه، شکل و یکنواختی ریزپوشش هاتاثیرگذار باشند [۳۰، ۳۱]. همچنین گزارش شده که با افزایش بی‌رویهٔ غلظت آژینات، ویسکوزیته افزایش یافته، و در نتیجه محلول آژینات به سختی قابلیت پمپ شدن از سرنگ را خواهد داشت و ریزپوشش‌های کروی حاصل نمی‌شوند [۳۲، ۳۳]. نظر به این‌که تمامی عوامل از جمله غلظت محلول ژل‌کننده (کلسیم کلرید) در این آزمون یکسان در نظر گرفته شد، می‌توان تغییر در اندازه و یکنواختی ریزپوشش‌های تشکیل شده را تنها به غلظت محلول سدیم آژینات

بهینه‌سازی تولید ریزپوششها استفاده از روش یک فاکتور در زمان برای پارامترهای غلظت محلول آژینات و غلظت محلول کلسیم کلرید مورد بررسی قرار گرفت. مقایسه میانگین داده‌ها (حداقل یه تکرار برای هر آزمون) با استفاده از نرم‌افزار Minitab نسخه ۱۸، تحت روش آنالیز یک طرفه واریانس و با استفاده از آزمون توکی در سطح احتمال ۵٪ انجام شد.

۳. نتایج

۱.۳. بهینه‌سازی‌شرايط‌تولید‌ريزپوشش

به منظور تولید ریزپوشش با اندازه و شکل‌های یکسان، شرایط تولید ریزپوشش‌ها مورد بهینه‌سازی قرار گرفت. در همین راستا، اثر دو پارامتر غلظت سدیم آژینات و غلظت محلول کلسیم کلرید بر روی خصوصیات ریزپوشش‌ها مورد بررسی قرار گرفت. در این خصوص باید گفت که هدف از بهینه‌سازی، دستیابی به ریزپوشش کروی و ریز و با اندازه‌های حدود ۲ میلی‌متر بود، چرا که اندازه‌ی نازل دستگاه چاپگر سه‌بعدی مورد استفاده در این تحقیق حدوداً برابر با ۲ میلی‌متر بود. افزایش اندازه‌ها به بیش از ۲ میلی‌متر باعث گرفتگی دستگاه و اخلال در فرآیند چاپ سه‌بعدی می‌شد. به علاوه، کنترل اندازه دانک‌های کی از پارامترهای مهم به منظور کاربرد آن‌های برای ثبت و ریزپوشانی‌سلول‌های زنده به شمار می‌رود. افزایش اندازه ریزپوششمنجر به محدودیت در انتشار مواد مغذی به درون دانک‌ها می‌شود. به طور دقیق‌تر، ورود مواد مغذی مانند اکسیژن به داخل دانک‌ها منجر به مرگ سلول در نتیجه‌های متابولیسم سلول‌های مجاور و تولید متابولیت‌های رقاپتی می‌شود. به علاوه، دانک‌های کوچک‌تر در برابر تنفس‌ها برشی

خود در برابر نیروهای کششی در برخورد با سطح حمام ژل هستند [33].

Table 1. Investigation of the effect of alginate solution concentration on the average size of beads (concentration of 2% w / w calcium chloride)

	Alginate concentration (% by weight / volume)		
	2	3	4
Average particle size (mm)	2.030±0.014 ^a	2.150±0.015 ^b	2.257±0.021 ^c

Different letters in each row show a significant difference at the 95% level ($p < 0.05$).

نسبت داد. با افزایش غلظت محلول آژینات، ویسکوزیتهٔ محلول افزایش یافت که این افزایش به نوبهٔ خود باعث افزایش اندازه قطره خارج شده از نازل و در نهایت افزایش اندازه ریزپوشش‌ها شد. در پژوهش انجام شده توسط کاور و همکاران گزارش شد که افزایش غلظت محلول سدیم آژینات از ۰.۱٪ به ۰.۳٪ (وزنی/حجمی) منجر به افزایش اندازهٔ ریزپوشش‌های تولیدی شد [۳۴].

در خصوص یکنواختی شکل ریزپوشش‌ها نیز باید گفت که با افزایش غلظت محلول آژینات، ریزپوشش‌ها گردتر و یکنواخت‌تر شدند. تغییر شکل در ریزپوشش‌های تولید شده از محلول آژینات با غلظت ۰.۲٪ در مقایسه با دانک‌های تولید شده از محلول با غلظت ۰٪ بیشتر بود (شکل ۱). این پدیده اثر کشش سطحی بر یکنواختی ریزپوشش‌ها را نشان می‌دهد. با افزایش غلظت آژینات در محلول، کشش سطحی کاهش بیشتری خواهد داشت. کاهش کشش سطحی منجر خواهد شد که قطره رها شده از نوک نازل، قبل از برخورد به سطح محلول ژل‌کننده، راحت‌تر بتواند شکل کروی به خود بگیرد [۳۲]. همچنین در محلول‌های رقیق‌تر به نسبت انواع غلیظتر، امکان پخش‌شوندگی و تغییر شکل قطرات هنگام برخورد به سطح محلول ژل‌کننده افزایش می‌یابد [۳۹]. افزایش ویسکوزیته سبب می‌شود که قطره هنگام برخورد، از خود رفتار یک جسم کروی جامد را بروز دهد که این رفتار منجر به مقاومت بیشتر نسبت به تغییر شکل می‌گردد. هنگامی که قطره وارد محلول ژل می‌شود، نیروهای ویسکوز^۱ درون قطره برای حفظ شکل قطره کروی عمل می‌کنند در حالی که نیروهای کششی^۲ که از محلول اطراف بر روی سطح قطره اعمال می‌شود، تمایل دارند که قطره محلول آژینات (دانک) را مختل کند. قطرات محلول آژینات با ویسکوزیته کم کمتر قادر به حفظ شکل کروی

1-Viscous forces

2-Drag forces

کلسیم کلرید، منجر افزایش عوامل کراس لینک کننده می‌گردد، لذا قطره به محض ورود به محلول کلسیم کلرید تبدیل به ژل می‌شود. در ادامه، به دلیل کوچک بودن اندازه ریزپوشش‌ها سرعت دستررسی یون‌های کلسیم به مرکز ریزپوشش‌ها افزایش یافته و در نهایت اکثر نواحی که قابلیت ایجاد پیوند یونی را دارند توسط یون کلسیم اشغال می‌شوند. این پدیده به معنی ژلاسیون کامل دانک‌ها می‌باشد. با افزایش میزان ژلاسیون، میزان خروج آب یا همان پدیده‌ی سینزیس و همچنین سفتی ریزپوشش افزایش می‌یابد، و لذا ریزپوشش‌ها ایجاد شده، اندازه‌ی کوچکتری خواهد داشت [۳۷]. در نهایت با توجه به نتایج بدست آمده از بخش بهینه‌سازی تولید دانک‌ها، به منظور حداقل‌سازی کارایی درون‌پوشانی در عین حال، حصول ریزپوششهای ریز با شکل یکنواخت، دانک‌ها با استفاده از محلول ۰.۴٪ (وزنی/حجمی) سدیم آلزینات و در غلاظت ۰.۳٪ (وزنی/حجمی) محلول ژل‌کننده کلسیم کلرید تولید شدند. از ریزپوشش‌های تولید شده به منظور بررسی کارایی درون‌پوشانی و همچنین کاربرد در فرمولاسیون کوکی استفاده شد.

Table 2. Investigation of the effect of calcium chloride solution concentration on the average size of the beads (4% w / w Sodium alginate concentration)

Calcium chloride concentration (% by weight / volume)	1	2	3
Average particle size (mm)	2.375±0.053 ^a	2.257±0.046 ^b	2.06±0.021 ^c

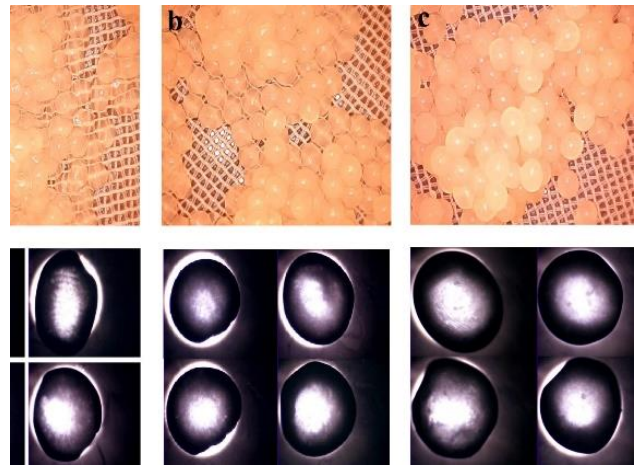


Figure 1. Effect of alginate concentration on the properties of beads. Microscopic image of produced beads with a concentration of 2% Sodium alginate (w / w (a), 3% (b), 4% (c)

۳.۱.۲. اثر غلاظت کلسیم کلرید بر خصوصیات دانک‌ها

یکی از خصوصیات بارز آلزینات‌ها، توانایی تشکیل ژل در حضور یون‌ها چندظرفیتی (خصوصاً دو ظرفیتی) می‌باشد [۳۵]. از مکانیسم تشکیل ژل در آلزینات‌ها به عنوان مدل جعبه تخم مرغی^۱ یاد می‌شود. شکل‌گیری ژل‌های آلزینات‌در اثر حضوریون عمدهاً توسط برهمکنش‌های الکترواستاتیک بین گروه‌های کربوکسیل با بار منفی در مولکول‌های آلزینات و کاتیون‌های دارای بار مثبت تشکیل می‌شوند که منجر به تشکیل کمپلکس‌های پلی الکتروولیتمی گردد [۳۶]. نتایج مربوط به اندازه ریزپوشش‌ها تشکیل شده در اثر تغییر غلاظت محلول کلسیم کلرید در جدول ۲ آورده شده است. همانطور که مشاهده می‌شود اندازه ریزپوشش‌ها با افزایش غلاظت محلول کلسیم کلرید به طور معنی‌داری ($p < 0.05$) کاهش می‌یابد. به علاوه، ریزپوشش‌های تشکیل شده، با افزایش غلاظت کلسیم کلرید یکنواخت‌تر و کروی‌تر شده‌اند (شکل ۲). در این خصوص باید گفت که افزایش غلاظت

1- Egg-box model

روش اکستروژن برابر با $۳۲۴ \pm ۰۶۰\%$ بوده است. در مطالعه یدیگر که به منظور درون پوشانی لاكتوباسیلوسپلانتاروم در هیدروژل بر پایه هیرید پروتئین آلتینات سویا صورت گرفت، میزان کارایی ریز پوشانی بین ۹۰-۹۲ درصد گزارش شد [۳۸]. همچنین پترایتیه گزارش کردن که کاراییدرون پوشانی برای باکتری های لاكتوباسیلوسپلانتاروم، لاكتوباسیلوسپلانتاروم، لاكتوباسیلوسپلانتاروم تیکوس به ترتیب برابر با $۵۲\% \pm ۹\%$ و $۳۰\% \pm ۷\%$ بوده است. همچنین آنها گزارش کردن که حضور کلسیم کلرید به عنوان عامل تشکیل ریز پوشش در بازه ۱ تا ۰.۵٪ (وزنی/حجمی)، منجر به توقف رشد باکتری لاكتوباسیلوسپلانتاروم می گردد که این اثر در غلظت ۰.۵٪ به حد اکثر خود می رسد. همچنین محققان اظهار داشتند که افزایش غلظت کلسیم کلرید به ۱۰٪ باعث ایجاد اثر کشنده و در نتیجه کاهش زندگانی باکتری شد. نتایج حاصل نشان می دهد که آلتینات می تواند به عنوان یک ماده دیواره مناسب، به منظور درون پوشانی باکتری عمل کند [۳۹].

۳.۳ آزمون آنالیز پروفایل بافتی

به منظور بررسی سفتی نمونه های کوکی پس از پخت آزمون آنالیز پروفایل بافتی بر روی نمونه های کوکی پس از پخت به مدت ۱۰ دقیقه در دو دمای ۱۵۰°C و ۱۸۰°C صورت گرفت. باید اظهار داشت که سفتی نمونه های کوکی در بازه ۱۰/۱۶ تا ۰/۳۰ نیوتون بود. وارقسه^۱ و همکاران بود که سفتی نمونه های کوکی چاپ شده توسط چاپگر سه بعدی را بین ۰/۴۵ تا ۰/۶۷ نیوتون گزارش کردند [۴۰]. همانطور که در جدول ۳ مشاهده می شود، با افزایش دمای پخت کوکی ها، سفتی نمونه ها به طور معنی داری افزایش یافت. در دمای فر

Different letters in each row show a significant difference at the 95% level

($p < 0.05$).

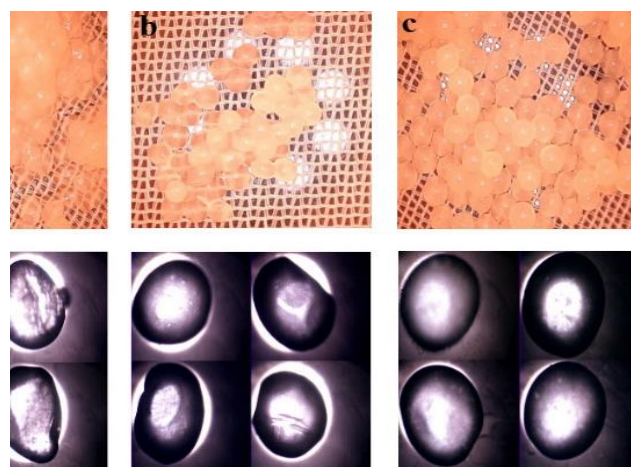


Figure 2. Effect of alginate concentration on the properties of beads. Microscopic image of bead produced with different concentrations of calcium chloride: 1% (a), 3% (b) and 4% (c)

۳.۲ بارگذاری باکتری درون ریز پوشش ها

کارایی درون پوشانی به صورت درصد مواد هسته درون پوشانی شده توسط ماده دیواره در مقایسه با میزان کل آن ماده در فرآیند درون پوشانی تعریف می شود. به منظور بررسی کارایی ریز پوشانی، مقدار 10^{15} CFU/ml باکتری در ۱۰ میلی لیتر محلول تشکیل دهنده ریز پوشش تلقیح شد. انتظار می رود در حالت ایده آل، 10^{14} CFU/ml در هر گرم از ریز پوشش یافته شود. نتایج نشان داد که در هر گرم از این ریز پوشش ها مقدار 10^{13} CFU/gr باکتری وجود داشت. این امر بدین معنی است که کارایی ریز پوشانی ریز پوشش های آلتینات در این روش برابر با $41/89\%$ بوده است. در مطالعه ای انجام شده توسط ست و همکاران، کارایی ریز پوشانی باکتری های استرپتوكوکوس ترموفیلوس و لاكتوباسیلوس بولگاریکوس در ریز پوشش های آلتینات به

1- Varghese

T2:Samples containing microencapsulated probiotic cells**۳،۴. بررسی زنده مانی باکتری ها پس از فرآیند چاپ سه بعدی**

به منظور بررسی اثر محافظت کنندگی ریزپوشش ها بر زنده مانی باکتری در فرمولاسیون کوکی، شمارش باکتری ها برای نمونه های T₁ (حاوی سلول های آزاد پروبیوتیک) و T₂ (حاوی سلول های ریزپوشانی شده) صورت گرفت. نتایج حاصل نشان داد که ریزپوشانی باکتری با آلتیناتسیدیم ، به طور موفقیت آمیز و معنی داری ($p < 0.05$) باعث افزایش زنده مانی باکتری ها در خمیر پس از چاپ سه بعدی شد. زنده مانی برای نمونه های T₁ و T₂ به ترتیب برابر با $2/49 \pm 1/78$ و $1/86 \pm 1/86$ بود (شکل ۳ و ۴). یکی از دلایل اصلی انجام فرآیند ریزپوشانی پروبیوتیک ها، محافظت از این میکرو اگانیسم ها در مواجه با شرایط نامطلوب محیطی است. این شرایط نامطلوب مجموعه ای از عوامل از جمله اسیدیته بالا، نمک های صفرایی و آنزیم ها است [۴۲]. با این حال، یکی از مهمترین شرایطی که اغلب نادیده گرفته می شود، شرایط فرآیندی مواد غذایی است. یکی از این شرایط، تنفس های مکانیکی بالایی است که گاهها در فراوری مواد غذایی مورد استفاده قرار می گیرند. در این پژوهش از دستگاه چاپگر سه بعدی و روش اکستروژن به منظور چاپ خمیر فرموله شده استفاده شد. یکی از خصوصیات این گونه فرآیندها، اعمال فشار و در نتیجه افزایش تنفس برشی در نازل است. فشار وارد شده به خمیر هنگام فرآیند چاپ، و همچنین تفاوت در اندازه نازل نسبت به اندازه مخزن، منجر به افزایش تنفس برشی می گردد. افزایش تنفس برشی در نازل هنگام فرآیند چاپ می تواند منجر به آسیب رسانی به غشاء سلول و کاهش زنده مانی پس از چاپ شود. به طور معمول در اثر اعمال تنفس، سلول ها بتدا سعی در آدایته کردن خود با شرایط محیطی می کنند و در صورتی که در انجام این کار ناموفق باشند،

پخت بالاتر، ویسکوزیته خمیر به سرعت تحت اثر ژلاتینه شدن نشاسته و انعقاد پروتئینافراش می یابد. دمای بالاتر فر همچنین منجر به فرار زودهنگام گازها و بخارات از خمیر شده که منجر به متراکم تر شدن و سفت تر شدن کوکی ها می شود [۴۱].

در خصوص اثر افودن ریزپوشش ها باید گفت که با افروده شدن دانک به فرمولاسیون کوکی، سفتی کوکی ها پس از پخت در هر دو دما نسبت به نمونه هی شاهد افزایش یافت. افزودن ریزپوشش به فرمولاسیون منجر به افزایش ویسکوزیته خمیر شد. افزایش ویسکوزیته خمیر، در هنگام چاپ سه بعدی منجر به افزایش یکنواختی مخلوط و خروج آن به صورت هموزن از دستگاه می شود. یکنواختی مخلوط هنگام خروج از نازل، می تواند باعث افزایش چگالی چاپ خمیر گردد که خود سبب کاهش تخلخل نسبت به نمونه های بدون ریزپوشش می شود.

Table 3: The effect of temperature and microencapsules on the firmness of baked cookies

Firmness(N)	T ₁	Cooking Temperature C °	
		150 Ba ± ۳/۸۱ ۱۶/۱۰	180 Ab ± ۴/۸۵ ۲۶/۸۸
	T ₂	Ba ± ۴/۲۸ ۱۹/۰۱	Ab ± ۴/۰۳ ۳۰/۰۴

Different letters in each row show a significant difference at the 95% level ($p < 0.05$).

T1: Samples containing free probiotic cells

۴). با این حال، شمارش باکتری‌ها در کوکی‌های پخت شده ۱۵۰ در نمونه‌های حاوی سلول‌های C در دمای ریزپوشیده شده و مقایسه نتایج با تعداد سلول‌های نمونه‌ی شاهد پس از پخت نشان‌دهنده‌ی کارایی ریزپوشانی در حفظ زنده‌مانی باکتری‌ها بود. همانطور که شکل ۳ و ۴ مشخص شده‌است، زنده‌مانی باکتری‌ها پس از پخت در ۱۵۰ و به مدت ۱۰ دقیقه، برای نمونه‌های C دمای دمای بهتری برابریا $37/72 \pm 3/05$ و $2/23 \pm 62/58$ در T_1 و T_2 بود(^{۰/۰۵}). عباس‌زاده ^p که تفاوت میان آن‌ها معنی‌دار بود([۰/۰۵]). همکاران در پژوهشی از دانکهای آرژینات پوشانده شده با کیتوزان به منظور درون‌پوشانی لاکتوباسیلوس رامنوسوز ^{۰/۵۵} استفاده کردند و اثر تیمار حرارتی در سه دمای ۶۰ و ۶۵ را بر زندمانی باکتری مذکور مورد بررسی قرار دادند. نتایج نشان داد که اثر محافظتی پوشش، در دماهای بالاتر بیشتر بود. آنها بیان داشتند که درون‌پوشانی با استفاده از ها را افزایش دهد و آرژینات‌تمی تواند مقاومت حرارتی باکتری این اثر در غلظت‌های بالاتر آرژینات افزایش می‌یابد ([۴۵]). این دینگ و همکاران گزارش کردند که باکتری پروپیوتیک‌درون‌پوشانی شده با آرژینات در طول فرآیند ۶۵ به مدت ۳۰ دقیقه، باعث کاهش ۴ C حرارتی در دمای لگاریتمی باکتری‌ها شد، در حالی که این کاهش برای حالت درون‌پوشانی نشده برابر با $6/7$ لگاریتم بود([۴۶]). علاوه بر این، توسط تئو و همکاران نشان داده شد که میزان باکتری لاکتوباسیلوس اسیدوفیلوس آزاد پس از قرار گرفتن در ۶۰ به مدت ۳۰ دقیقه، حدود ۵ C معرض دمای سیکل‌لگاریتمی کاهش یافت، در حالی که این کاهش در حالت درون‌پوشانی شده برابر با ۲ سیکل لگاریتمی بود ([۲۹]). مالمو و همکاران در تحقیق برای بررسی اثر درون‌پوشانی لاکتوباسیلوس رویتری در آرژینات و ترکیب آرژینات و کیتوزان، نشان دادند که میزان زنده‌مانی پس از پخت در سوپله‌ی شکلاتی برابر با ۷٪ و ۱۰٪ جمعیت اولیه باکتری تلقيق شده بود، در حالی که با تلقيق باکتری به

تنش باعث مرگ سلول‌ها می‌شود . با این حال باید گفت نمونه‌ی شاهد از میزان زنده‌مانی بالایی برخوردار بود. در توجیه زنده‌مانی بالای باکتری‌ها در نمونه‌ی شاهد، باید گفت که ثابت شده استفاده از فرآیند اکستروژن در فشارهای پایین می‌تواند آسیب به سلول‌ها را تا حدی کاهش دهد([۴۳]). با این حال تفاوت معنی‌داری میان نمونه‌های T₁ و T₂ مشاهده شد. افزایش زنده‌مانی باکتری‌ها در نمونه T₂ به دلیل اثر محافظت‌کنندگی ریزپوشش بر روی میکروارگانیسم بود.

۳.۵. بررسی زنده‌مانی باکتری‌ها پس از فرآیند پخت

استفاده از پروپیوتیک‌ها در صنعت نانوایی و قنادی، به علت شرایط دمایی بالا، چالش بزرگی برای محققین می‌باشد. دمای بیش از حد منجر به تغییر در ساختارهای، مانند پروتئین و اسید نوکلئیک سلول‌ماکرومولکول شکننده، که باکتری‌ایشده و پیوند بین واحدهای مونومری را می‌در نهایت باعث از بین‌فتح مونومرها و مرگ باکتری‌ها می‌شود([۴۳]). در مطالعه‌ای که توسط لو ژانگ و همکارانش صورت گرفت و از نان به عنوان حاملی برای پروپیوتیک (لاکتوباسیلوس پلاتتاروم) در دماهای مختلف استفاده شد، که در تمامی شرایط پخت مقدار پروپیوتیک‌ها به اندازه ۵-۶ لگاریتم کاهش پیدا کردند([۴۴]). نتایج نشان دادند که محتواهی رطوبت موجود در نمونه‌ها عامل مهمی در میزان ها طی فرآیند حرارتی می‌باشد، این کاهش پروپیوتیک صورت که کمتر بودن میزان رطوبت در پوسته نان سبب افزایش زنده‌مانی پروپیوتیک‌ها نسبت به مغز نان شده است که دارای رطوبت بیشتری می‌باشد. نتایج حاصل از شمارش ۱۵۰ و C باکتری‌ها قبل و پس از پخت در دو دمای ۱۸۰ در C نشان داد که پس از پخت در دمای C هیچکدام از نمونه‌ها باکتری‌ها زنده باقی نماندند(شکل ۳)

the process in sample T2 (Sample containing microencapsulated cells)

۴. نتیجه‌گیری

در این پژوهش، ضایعات شیرینی به عنوان ماده اولیه برای تولید محصول حاوی پروبیوتیک توسط فناوری چاپ سه بعدی مورد استفاده قرار گرفت. پروبیوتیک مورد نظر (لاکتو باسیلوس پلاتنتاروم) توسط روش اکستروژن و آرژینات سدیم ریزپوشانی شدند و سپس در فرمولاسیون خمیر کوکی مورد استفاده قرار گرفتند. بررسی شرایط چاپ خمیر و پخت نشان داد که استفاده از ضایعات فراورده های قنادی گزینه مناسبی برای فرمولاسیون و تولید محصولات فراسودمند به کمک چاپ سه بعدی می باشد. با این وجود تحقیقات بیشتری جهت بررسی شرایط فرایند از جمله دما، زمان، سایز نازل، نیروی وارد شده هنگام چاپ و غیره جهت بهبود زنده مانی پروبیوتیک ها لازم می باشد. همچنین استفاده از سایر ترکیبات به عنوان ماده دیواره برای ریزپوشانی پروبیوتیک ها مقایسه با روش بکار گرفته شده می تواند در بهبودی حداکثری سلول ها طی فرایند چاپ و پخت کمک شایانی بکند.

صورت درون پوشانی نشده، میزان جمعیت باکتریایی به $\%$ [۴۱]

کاهش یافته بود

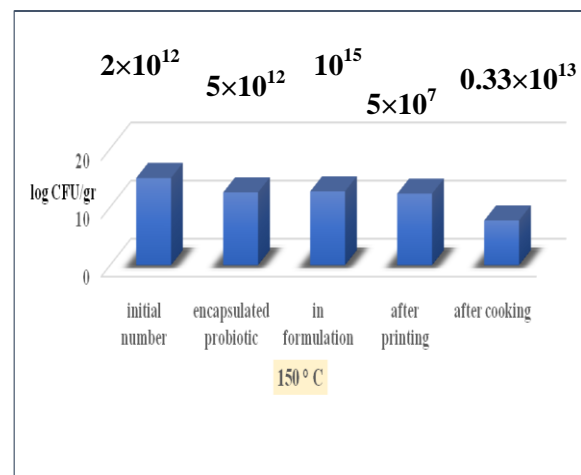


Figure 3. Density of probiotics at different stages of the process in sample T1 (Sample containing free probiotic cells)

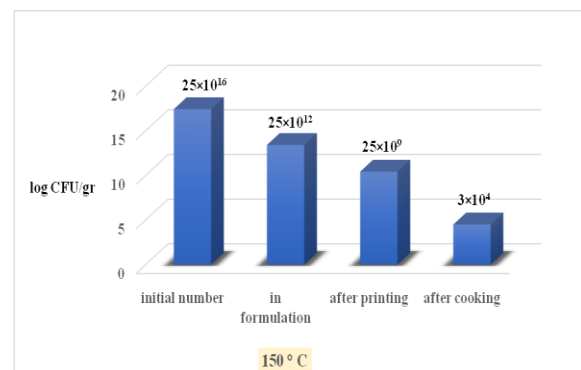


Figure 4. Cell density of probiotics at different stages of

۵- منابع

- [1] Ferronato N, Torretta V. Waste mismanagement in developing countries: A review of global issues. International journal of environmental research and public health. 2019;16(6):1060.
- [2] Sepaskhah A. A Menu of Solutions to the Food Security Challenge in Iran. Strategic Research Journal of Agricultural Sciences and Natural Resources. 2016;1(1):23-34.
- [3] Nazari H, Ghalami Z. Effect of quality attributes of bakery's yeast on bread waste production (A case study in Zanjan, Iran). Journal of food science and technology(Iran). 2016;13(58):31-45.
- [4] Govindaraju M, Sathasivam KV, Marimuthu K. Waste to wealth: value recovery from bakery wastes. Sustainability. 2021;13(5):2835.
- [5] Jiang H, Zheng L, Zou Y, Tong Z, Han S, Wang S. 3D food printing: Main components selection by considering rheological properties. Critical reviews in food science and nutrition. 2019;59(14):2335-47.
- [6] Cohen DL, Lipton JI, Cutler M, Coulter D, Vesco A, Lipson H, editors. Hydrocolloid printing: a novel platform for customized food production. 2009 International Solid Freeform Fabrication Symposium; 2009: University of Texas at Austin.

- [7] Dankar I, Haddarah A, Omar FE, Sepulcre F, Pujolà M. 3D printing technology: The new era for food customization and elaboration. *Trends in food science & technology.* 2018;75:231-42.
- [8] Leo CH, Lee CP, Foo SY, Tan JCW, Tan JD, Ong ES, et al. 3D printed nutritious snacks from orange peel waste. *Materials Today: Proceedings.* 2022.
- [9] Ashaolu TJ. Immune boosting functional foods and their mechanisms: A critical evaluation of probiotics and prebiotics. *Biomedicine & Pharmacotherapy.* 2020;130:110625.
- [10] Muzzafar A, Sharma V. Microencapsulation of probiotics for incorporation in cream biscuits. *Journal of Food Measurement and Characterization.* 2018;12(3):2193-201.
- [11] Syiemlieh I, Morya S. Dairy and non-dairy based probiotics: A review. *Pharma Innov J.* 2022;11:2956-64.
- [12] Zhang L, Lou Y, Schutyser MAI. 3D printing of cereal-based food structures containing probiotics. *Food Structure.* 2018;18:14-22.
- [13] Liu Z, Bhandari B, Zhang M. Incorporation of probiotics (*Bifidobacterium animalis* subsp. *Lactis*) into 3D printed mashed potatoes: Effects of variables on the viability. *Food Research International.* 2020;128:108795.
- [14] Yuan Y, Yin M, Zhai Q, Chen M. The encapsulation strategy to improve the survival of probiotics for food application: From rough multicellular to single-cell surface engineering and microbial mediation. *Critical Reviews in Food Science and Nutrition.* 2022;1-17.
- [15] Godoi FC, Prakash S, Bhandari BR. 3D printing of plant-based foods. *Engineering Plant-Based Food Systems:* Elsevier; 2023. p. 301-14.
- [16] Bustos P, Borquez R. Influence of Osmotic Stress and Encapsulating Materials on the Stability of Autochthonous *Lactobacillus plantarum* after Spray Drying. *Drying Technology.* 2013;31:57.
- [17] Khoshdouni Farahani Z, Mousavi M, Seyedain Ardebili M, Bakhoda H. The influence of sodium alginate and sodium alginate/WPI as coating material on microcapsules of Jujube extract produced by spray dryer. *Journal of Food Processing and Preservation.* 2022;46(12):e17175.
- [18] Panjanapongchai S, Chavapradit C, Anal AK. Microencapsulation of Probiotics and its Potential Industrial Applications. *Probiotics, Prebiotics and Synbiotics: Technological Advancements Towards Safety and Industrial Applications.* 2022;213-32.
- [19] Dianawati D, Mishra V, Shah NP. Stability of microencapsulated *Lactobacillus acidophilus* and *Lactococcus lactis* ssp. *cremoris* during storage at room temperature at low aw. *Food Research International.* 2013;50(1):259-65.
- [20] Dantas A, Verruck S, de Liz GR, Hernandez E, Prudencio ES. Lactose-free skim milk and prebiotics as carrier agents of *Bifidobacterium BB-12* microencapsulation: physicochemical properties, survival during storage and in vitro gastrointestinal condition behaviour. *International Journal of Food Science & Technology.* 2021;56(5):2132-45.
- [21] Burgain J, Gaiani C, Linder M, Scher J. Encapsulation of probiotic living cells: From laboratory scale to industrial applications. *Journal of food engineering.* 2011;104(4):467-83.
- [22] Yousefi H, Soleimanian-Zad S, Shahedi Bagh Khandan M. Microencapsulation of Probiotics by Emulsion Method for Production of Probiotic Bread. *Iranian Journal of Nutrition Sciences and Food Technology.* 2017;11(4):99-106.
- [23] Milani E, Naiimi H, Mortazavi SA, Arash K. The effect of simulated conditions of the stomach and intestine on the survival of microencapsulated probiotic bacteria *Lactobacillus casei* (*Lactobacillus casei*) in Masti Synbiotic ice cream". *The Iranian Food Science and Technology Research Journal.* 2012;8(2):-.
- [24] Schutyser M, Houlder S, de Wit M, Buijsse C, Alting A. Fused deposition modelling of sodium caseinate dispersions. *Journal of Food Engineering.* 2018;220:49-55.
- [25] Song H, Yu W, Liu X, Ma X. Improved probiotic viability in stress environments with post-culture of alginate-chitosan microencapsulated low density cells. *Carbohydrate polymers.* 2014;108:10-6.
- [26] Farahani ZK, Mousavi M, Ardebili SMS, Bakhoda H. Modification of sodium alginate by octenyl succinic anhydride to fabricate beads for encapsulating jujube extract. *Current Research in Food Science.* 2022;5:157-66.
- [27] Zhang L, Lou Y, Schutyser MA. 3D printing of cereal-based food structures containing probiotics. *Food structure.* 2018;18:14-22.
- [28] Arslan-Tontul S, Erbas M, Gorgulu A. The use of probiotic-loaded single-and double-layered microcapsules in cake production. *Probiotics and antimicrobial proteins.* 2019;11(3):840-9.
- [29] Teoh PL, Mirhosseini SH, Mustafa S, Manap MYA. Tolerance of free and encapsulated probiotics towards heat treatment and high sodium concentration. *Journal of Food, Agriculture & Environment.* 2011;9(1):69-73.
- [30] Malmo C, La Storia A, Mauriello G. Microencapsulation of *Lactobacillus reuteri* DSM 17938 cells coated in alginate beads with chitosan by spray drying to use as a probiotic cell in a chocolate soufflé. *Food and Bioprocess Technology.* 2013;6(3):795-805.

- [31] Krasaeko W, Bhandari B, Deeth H. The influence of coating materials on some properties of alginate beads and survivability of microencapsulated probiotic bacteria. International dairy journal. 2004;14(8):737-43.
- [32] Li ZQ, Hou LD, Li Z, Zheng W, Li L, editors. Study on shape optimization of calcium-alginate beads. Advanced Materials Research; 2013: Trans Tech Publ.
- [33] Seifert DB, Phillips JA. Production of small, monodispersed alginate beads for cell immobilization. Biotechnology progress. 1997;13(5):562-8.
- [34] Kaur N, Singh B, Sharma S. Hydrogels for potential food application: Effect of sodium alginate and calcium chloride on physical and morphological properties. The Pharma Innovation Journal. 2018;7(7):142-8.
- [35] Hu C, Lu W, Mata A, Nishinari K, Fang Y. Ions-induced gelation of alginate: Mechanisms and applications. International Journal of Biological Macromolecules. 2021;177:578-88.
- [36] Liu X, Yu W, Zhang Y, Xue W, Yu W, Xiong Y, et al. Characterization of structure and diffusion behaviour of Ca-alginate beads prepared with external or internal calcium sources. Journal of microencapsulation. 2002;19(6):775-82.
- [37] Ramdhan T, Ching SH, Prakash S, Bhandari B. Time dependent gelling properties of cuboid alginate gels made by external gelation method: Effects of alginate-CaCl₂ solution ratios and pH. Food hydrocolloids. 2019;90:232-40.
- [38] Praepanitchai O-A, Noomhorm A, Anal AK. Survival and behavior of encapsulated probiotics (*Lactobacillus plantarum*) in calcium-alginate-soy protein isolate-based hydrogel beads in different processing conditions (pH and temperature) and in pasteurized mango juice. BioMed research international. 2019;2019.
- [39] Petraitytė S, Šipailienė A. Enhancing encapsulation efficiency of alginate capsules containing lactic acid bacteria by using different divalent cross-linkers sources. Lwt. 2019;110:307-15.
- [40] Varghese C, Wolodko J, Chen L, Doschak M, Srivastav PP, Roopesh M. Influence of selected product and process parameters on microstructure, rheological, and textural properties of 3D printed cookies. Foods. 2020;9(7):907.
- [41] Panghal A, Chhikara N, Khatkar B. Effect of processing parameters and principal ingredients on quality of sugar snap cookies: a response surface approach. Journal of food science and technology. 2018;55(8):3127-34.
- [42] Călinoiu L-F, Ștefănescu BE, Pop ID, Muntean L, Vodnar DC. Chitosan coating applications in probiotic microencapsulation. Coatings. 2019;9(3):194.
- [43] Nair K, Gandhi M, Khalil S, Yan KC, Marcolongo M, Barbee K, et al. Characterization of cell viability during bioprinting processes. Biotechnology Journal: Healthcare Nutrition Technology. 2009;4(8):1168-77.
- [44] Zhang L, Taal MA, Boom RM, Chen XD, Schutyser MA. Effect of baking conditions and storage on the viability of *Lactobacillus plantarum* supplemented to bread. LWT. 2018;87:318-25.
- [45] Gandomi H, Abbaszadeh S, Misaghi A, Bokaei S, Noori N. Effect of chitosan-alginate encapsulation with inulin on survival of *Lactobacillus rhamnosus* GG during apple juice storage and under simulated gastrointestinal conditions. LWT-Food Science and Technology. 2016;69:365-71.
- [46] Ding W, Shah NP. Effect of various encapsulating materials on the stability of probiotic bacteria. Journal of food science. 2009;74(2):M100-M7.



Effect of microencapsulation on probiotic viability in 3D printed cookies based on confectionary's waste

Mahsa Sayadi¹, Zeinab Ebrahimzadeh Mousavi*², SeyedHadiRazavi³

¹Alumni student,of Food Science and Engineering, College of Natural Resources and Agriculture, University of Tehran

²Assistant Professor, Department of Food Science and Engineering, College of Natural Resources and Agriculture, University of Tehran.

³Professor, Department of Food Industry, College of Agriculture and Natural Resources and Agriculture, University of Tehran.

ABSTRACT

The survival of probiotics in food products face various challenges during the production process. One of the emerging processes in the production of food products is 3D printing. The effect of this process on the viability of probiotics has not been studied so far. In this research, the effect of micro-encapsulation on cell viability during the process of 3D printing and cookie baking (based on waste from confectionery products) was investigated. First, the conditions for the production of micro-capsules were optimized by modulating the percentage of sodium alginate and calcium chloride solutions. Then, the effect of micro-encapsulation with different concentrations of micro-capsules (10, 5, 0% w/w) on the firmness of the dough texture was also investigated as an important factor in the printability of the dough. Finally, the cell viability was evaluated during the printing and baking process (150°C and 180°C for 10 minutes). The results of the microscopic images showed that with the increase in the concentration of sodium alginate and calcium chloride solution, the uniformity and sphericity of the micro-capsule increases. The efficiency of alginate-based micro-encapsulation in this method was 89.41%. The optimal concentration of micro-capsules in order to have the desired printability of baked dough, was reported as 5% w/w. Microencapsulation increased the survival rate of probiotics during 3D printing and baking. The survival percentage of microencapsulated probiotics (T2) after 3D printing and baking (150°C temperature) was 96.86% and 62.58%, respectively. Meanwhile, the survival percentage for the sample containing free cells (T1) was reported 60.77% and 43.05%, respectively. However, no viable probiotic cells were observed in both free and encapsulated cells conditions at 180°C.

ARTICLE INFO

Article History:

Received: 2023/5/16

Accepted:2023/5/30

Keywords:

Probiotics,

Cookies,

Microencapsulation,

Survival,

3D printing

DOI: 10.22034/FSCT.20.136.186

DOR:20.1001.1.20088787.1402.20.136.14.2

*Corresponding Author E-Mail:

zeinab.mosavi@ut.ac.ir